### DRI OCT Triton™ Séries

Tomographie par Cohérence Optique Swept Source



**NOUVEAU** PixelSmart™



# Voir. Découvrir. Explorer.

La puissance de diagnostic de l'OCT Swept Source Deep Range Imaging<sup>1</sup>.



La technologie Swept Source donne une dimension nouvelle à l'OCT. L'OCT DRI Triton de Topcon est facile à utiliser, donne des informations cliniques uniques, et a permis d'améliorer ma consultation. Pour la première fois, nous pouvons visualiser non seulement les interfaces vitréo-rétiniennes, mais également le corps vitré, ce qui est très important au moment où de plus en plus de thérapies sont délivrées par le biais d'injection intra-vitréennes.

Des imageries plus profondes donnent des informations sur l'épaisseur de la choroïde, qui m'aident à adapter ma décision clinique. En voyant plus de détails, je peux adapter ma thérapie et traiter ainsi plus efficacement. L'OCT Swept Source est un outil essentiel pour la recherche des biomarqueurs de régression ou de progression des maladies."

#### Prof. P. E. Stanga

Manchester Royal Eye Hospital, Manchester Vision Regeneration (MVR) Lab at NIHR/ Welcome Trust Manchester CRF & University of Manchester

## Bienvenue à la nouvelle frontière en imagerie OCT.

L'OCT DRI Triton combine le premier<sup>2</sup> OCT Swept Source avec l'imagerie multimodale.

#### Qualité d'image

Le Swept Source OCT Triton avec sa vitesse de balayage plus rapide et sa longueur d'onde de 1 050nm, donne des images extrêmement claires et détaillées, même dans les couches les plus profondes de l'œil, en un temps d'acquisition très court. Vous ne visualisez pas seulement la rétine et le vitré, mais également la choroïde et la sclère¹.

### Capacités de diagnostic remarquables

En voyant plus en profondeur, on peut mieux comprendre certaines pathologies oculaires et cela peut permettre de les détecter et les suivre plus précocement<sup>1</sup>. Combiné avec des outils comme l'OCT angiographie, le fond d'œil en auto-fluorescence ou encore l'imagerie En-face, le Triton vous permet d'anticiper pour préserver la vision de vos patients.

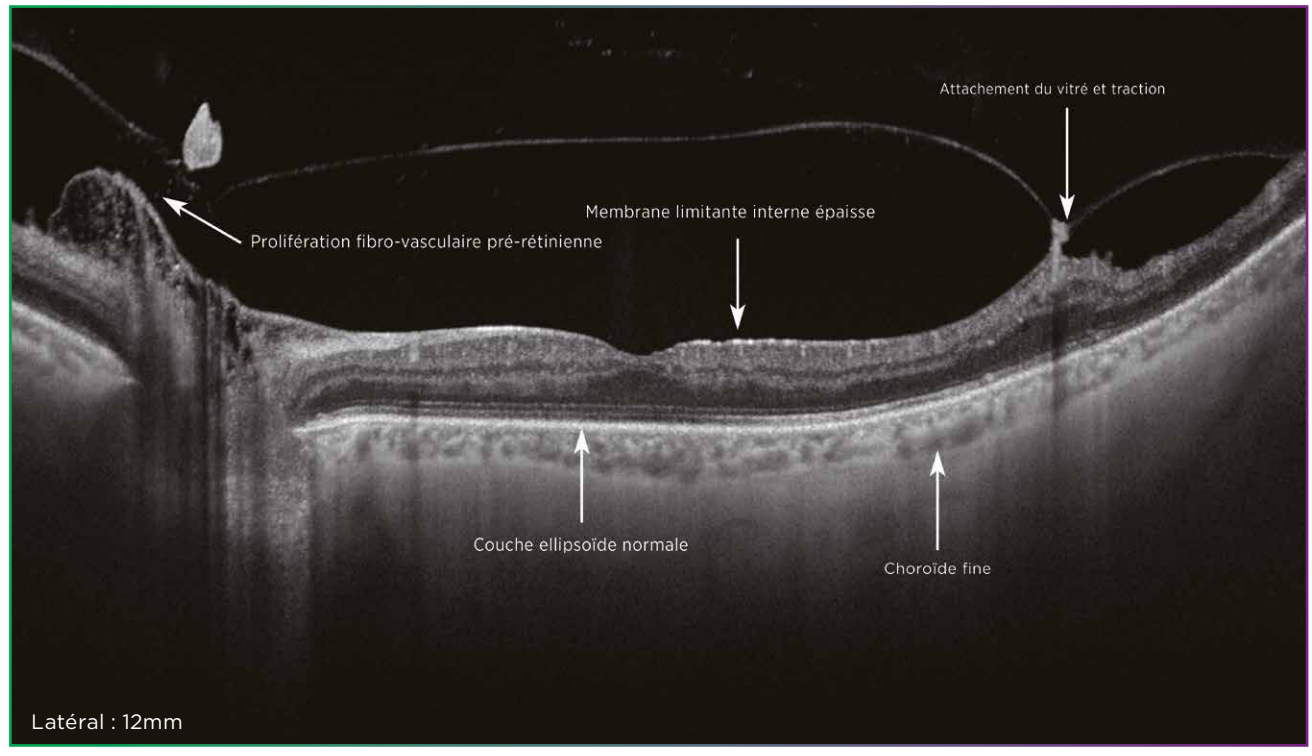
#### Efficacité clinique

Une multitude de fonctions automatisées et intuitives, incluant l'acquisition d'un scan de dépistage ou le système SMARTTrack™, sont conçues pour optimiser le flux de votre consultation en simplifiant la capture des données, les analyses et le suivi.

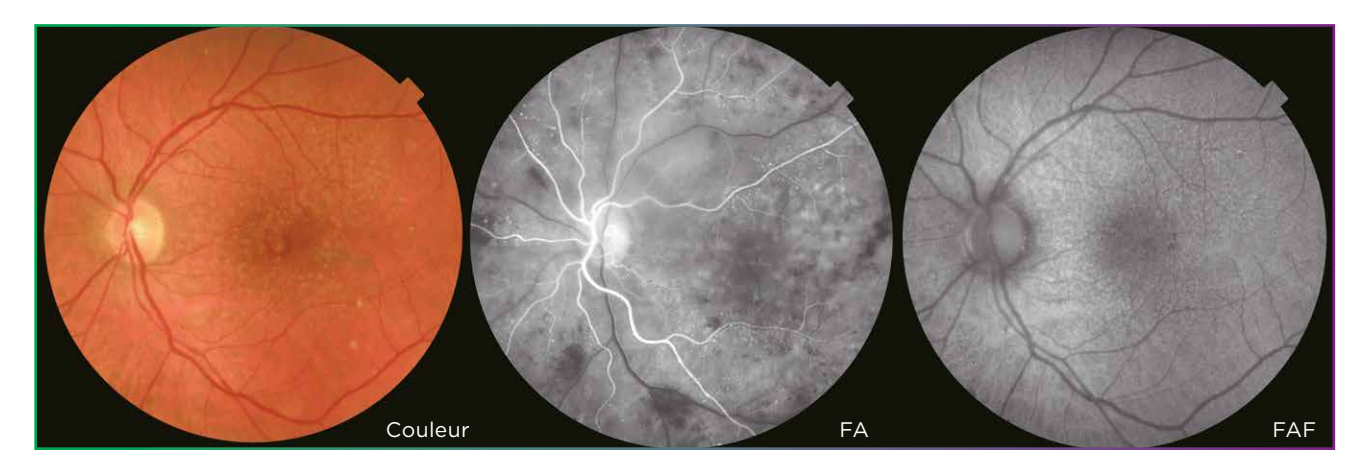


## Voir plus profond¹. Voir plus.

#### Rétinopathie diabétique proliférante



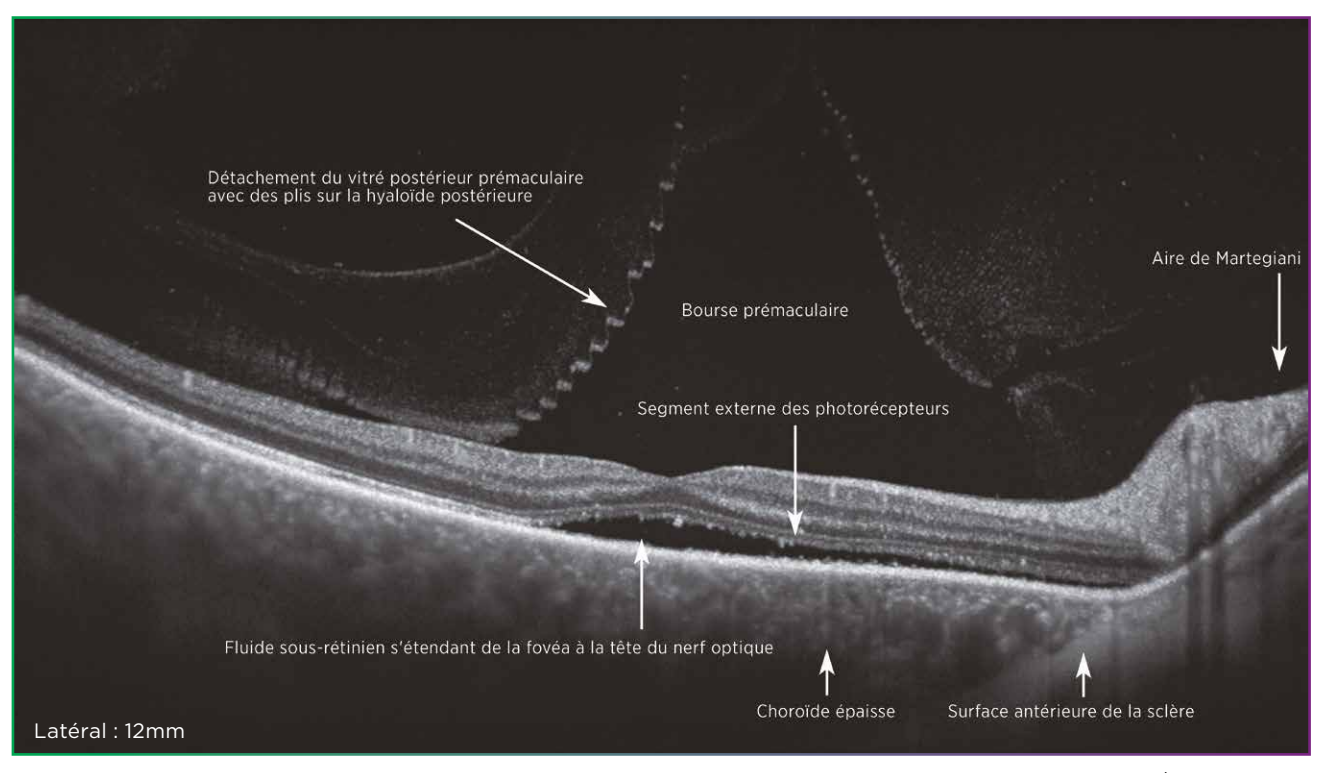
Remerciements: Prof. P. E. Stanga, Manchester Royal Eye Hospital, Manchester Vision Regeneration (MVR) Lab at NIHR/Welcome Trust Manchester CRF & University of Manchester



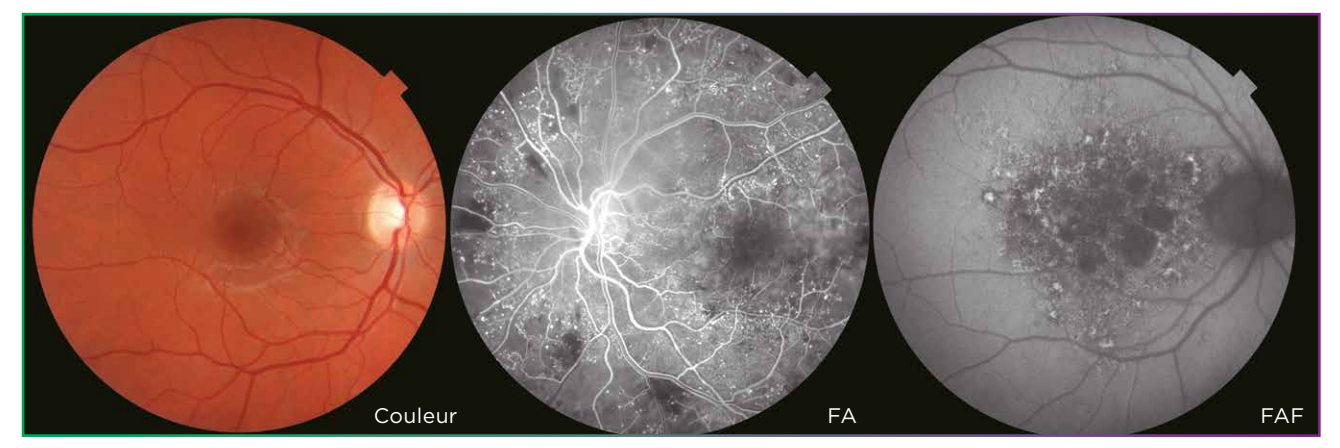
Remerciements: Prof. P. E. Stanga, Manchester Royal Eye Hospital, Manchester Vision Regeneration (MVR) Lab at NIHR/Welcome Trust Manchester CRF & University of Manchester

\*Les photographies fluo et auto fluo peuvent être réalisées avec le DRI OCT TRITON+ uniquement.

#### Rétinopathie séreuse centrale



Remerciements : Prof. P. E. Stanga, Manchester Royal Eye Hospital, Manchester Vision Regeneration (MVR) Lab at NIHR/Welcome Trust Manchester CRF & University of Manchester

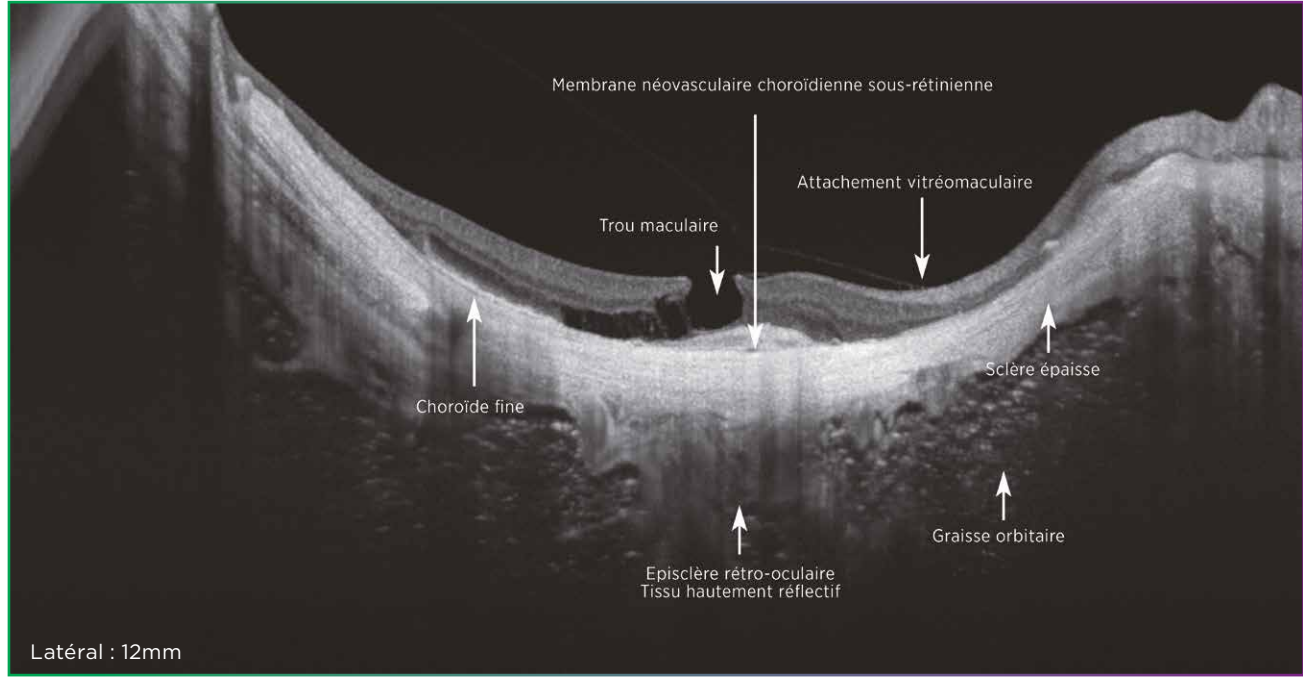


Remerciements : Prof. P. E. Stanga, Manchester Royal Eye Hospital, Manchester Vision Regeneration (MVR) Lab at NIHR/Welcome Trust Manchester CRF & University of Manchester

\*Les photographies fluo et auto fluo peuvent être réalisées avec le DRI OCT TRITON+ uniquement.

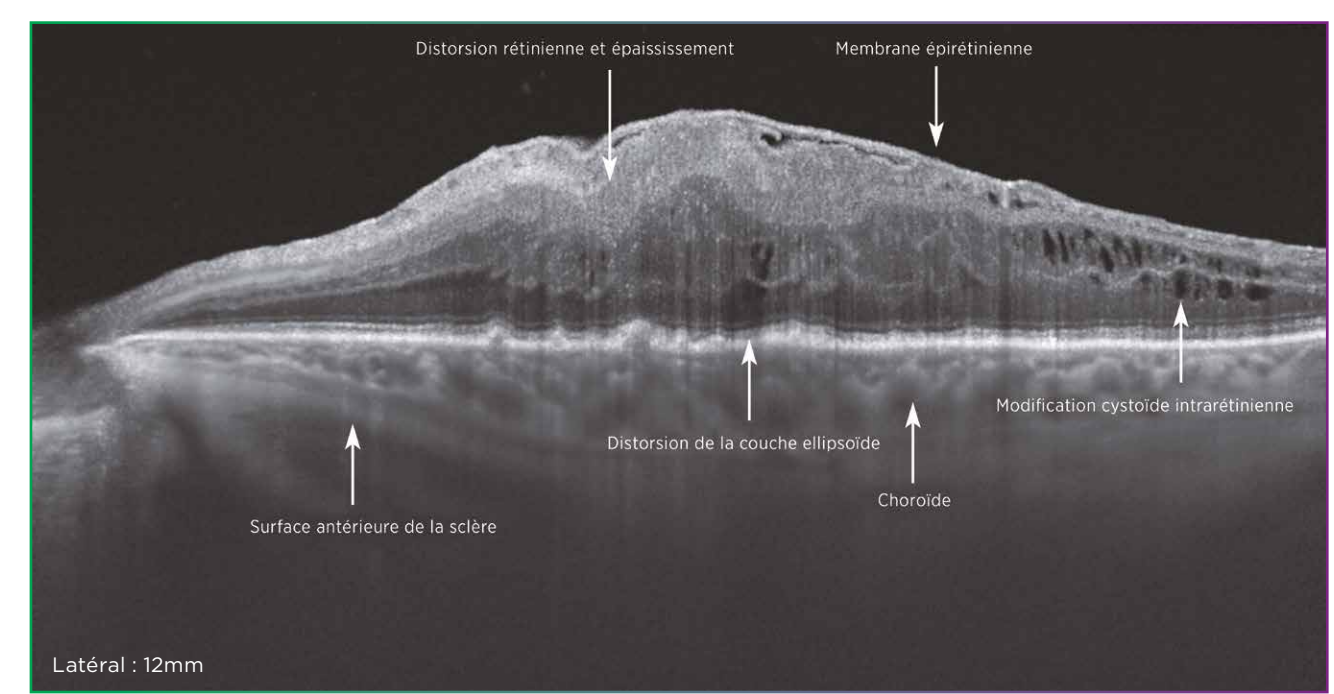
## Voir plus profond<sup>1</sup>. Voir plus.

#### Myopie pathologique



Remerciements : Prof. P. E. Stanga, Manchester Royal Eye Hospital, Manchester Vision Regeneration (MVR) Lab at NIHR/Welcome Trust Manchester CRF & University of Manchester

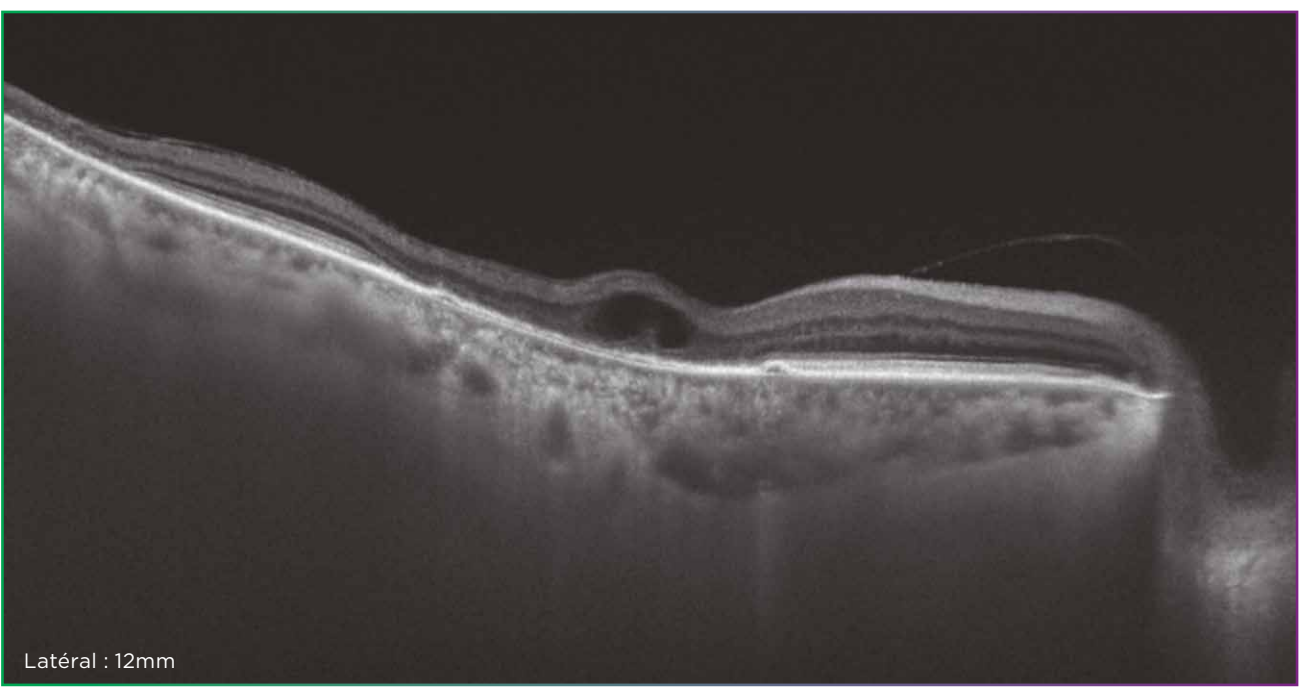
#### Plis maculaires



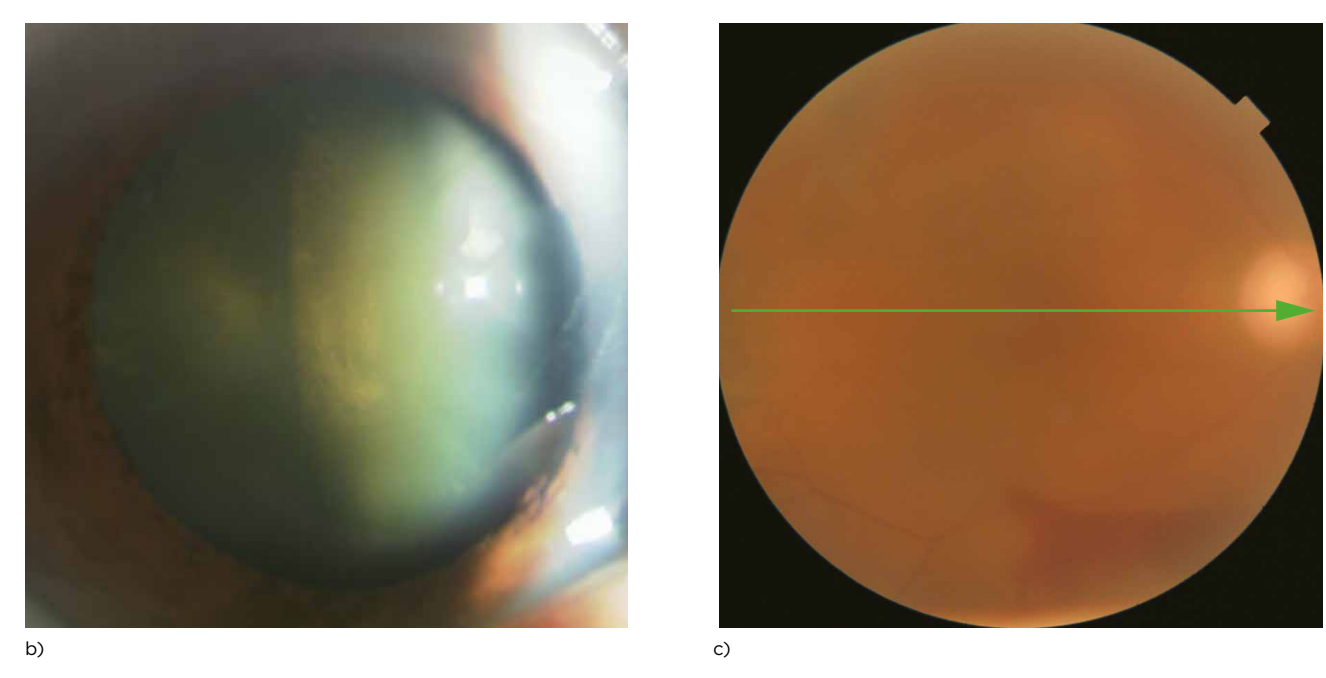
Remerciements : Prof. P. E. Stanga, Manchester Royal Eye Hospital, Manchester Vision Regeneration (MVR) Lab at NIHR/Welcome Trust Manchester CRF & University of Manchester

1) Fabio Lavinsky, Daniel Lavinsky. Novel perspectives on swept-source optical coherence tomography. Int J Retin Vitr (2016) 2:25

#### Image à travers une cataracte



a)



a, b, c remerciements : Kazuya Yamagishi, MD (Hirakata Yamagishi Eye Clinic, Japan)

### Le Swept Source propulse l'OCT vers une nouvelle dimension.

Le SS-OCT Angio™ de TOPCON combine l'OCT Angiographie dans la technologie Swept Source. L'algorithme breveté OCTARA™ pour le traitement des images d'OCT Angiographie, permet une détection à haute résolution<sup>3</sup> et une visualisation des structures vasculaires et microvasculaires de façon non-invasive, même dans les couches externes de la rétine et dans la choroïde.

#### Imagerie haute résolution et visualisation des flux en profondeur<sup>1</sup>

La technologie OCT Swept Source et l'algorithme OCTARA<sup>TM</sup> permettent une visualisation des structures vasculaires en profondeur avec moins d'atténuation de signal<sup>3</sup>. De plus, la longueur d'onde de 1µm rend possible une visualisation à travers les opacités de médias.

#### Acquisition rapide, eye-tracking en temps réel

Avec 100 000 A-scan/sec, une ligne de scan invisible\* et la technologie SMARTTrack™ pour le tracking de l'œil, l'OCT TRITON capture rapidement l'ensemble des données, et offre une visualisation En-face des structures vasculaires et micro-vasculaires en OCT Angiographie<sup>3</sup>.

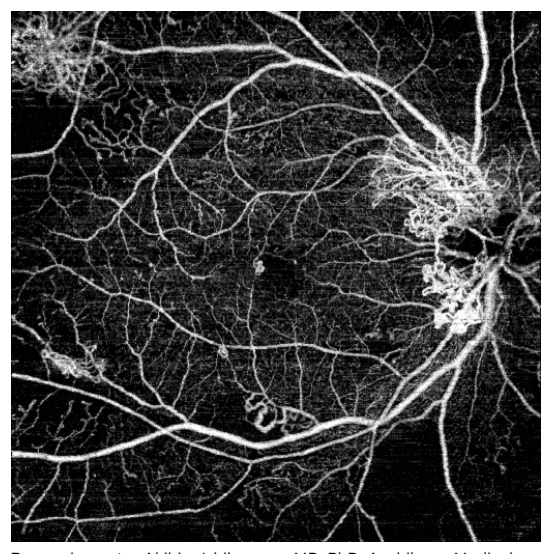
\*La ligne de balayage OCT Angiographie peut être visible durant l'acquisition par certaines personnes sous certaines conditions.

#### Plateforme multimodale optimisée au parcours patient

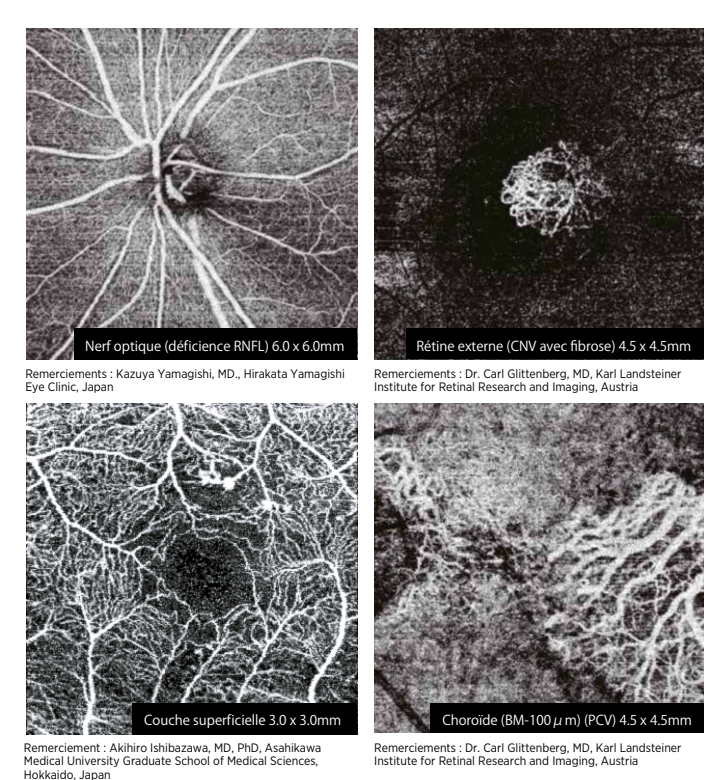
La plateforme multimodale offre une vue d'ensemble pour les comparaisons des déficiences microvasculaires avec la Fluo (FA), l'AutoFluo (FAF), les scans OCT ou encore l'imagerie du fond d'œil en couleur réelle du même dispositif DRI SS-OCT Triton\*.

\*DRI OCT Triton Plus

#### 12x12mm 512 pixels



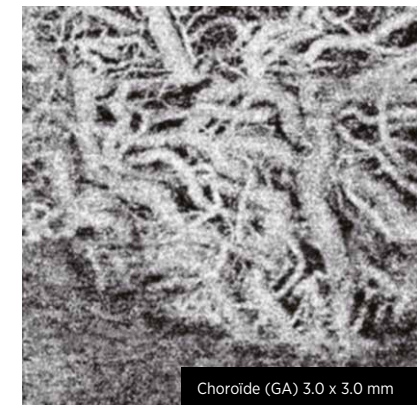
University Graduate School of Medical Sciences, Hokkaido, Japan

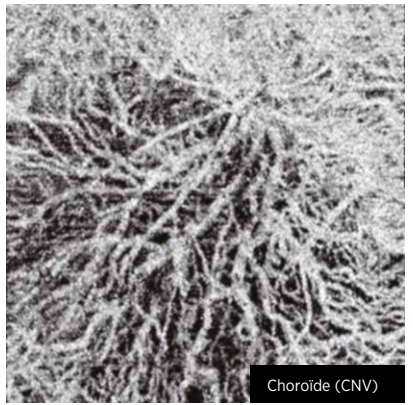


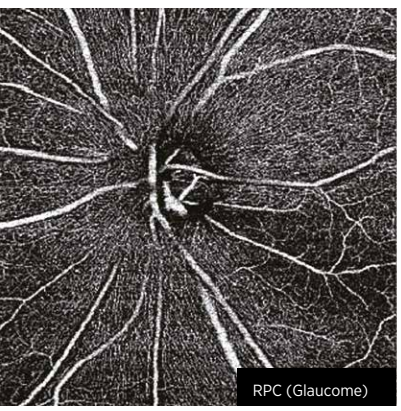
1) Fabio Lavinsky, Daniel Lavinsky. Novel perspectives on swept-source optical coherence tomography. Int J Retin Vitr (2016) 2:25

#### **OCTARA**™

OCTARA™ est la technologie de traitement d'image qui extrait les modifications de signaux d'après les différents B-scans acquis à la même position. Les vaisseaux à flux rapides comme à flux lents sont détectés avec une haute sensibilité<sup>3</sup>.



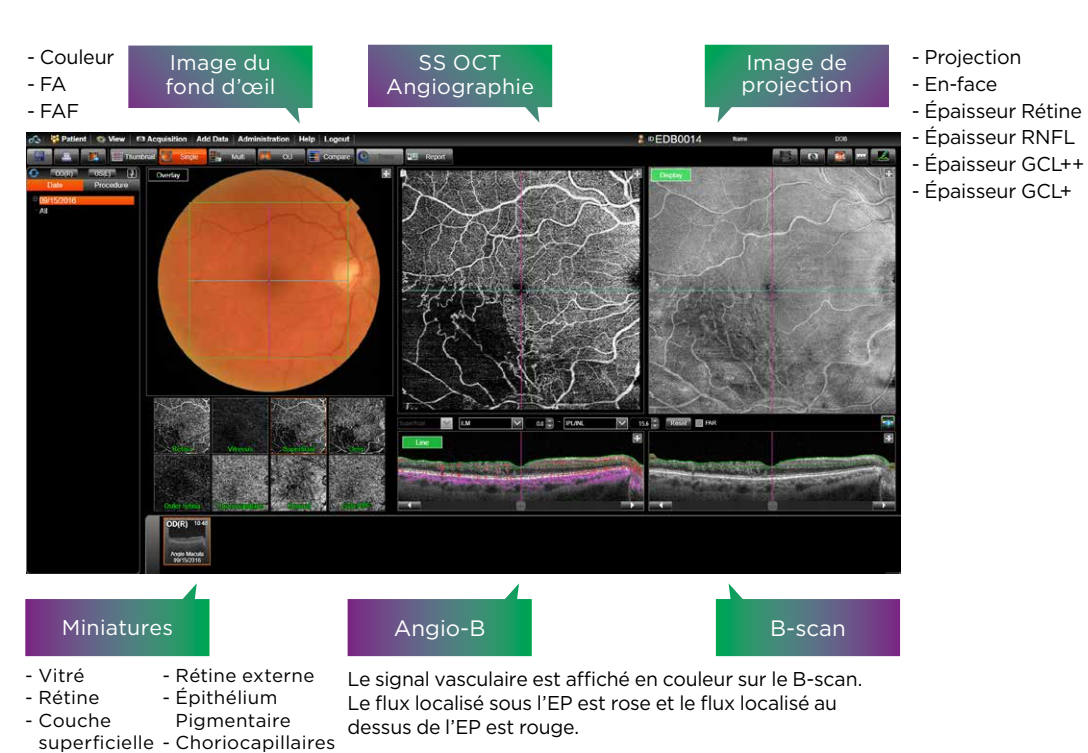




#### Visualisation multimodale

- Couche

Les images d'angiographie, les B-scans et les photographies du fond d'œil peuvent être vues en simultanées sur un écran avec IMAGEnet6. La zone d'intérêt est rapidement repérée parmi toutes les modalités. L'affichage des couches segmentées permet d'améliorer la visualisation suivant les différentes pathologies.

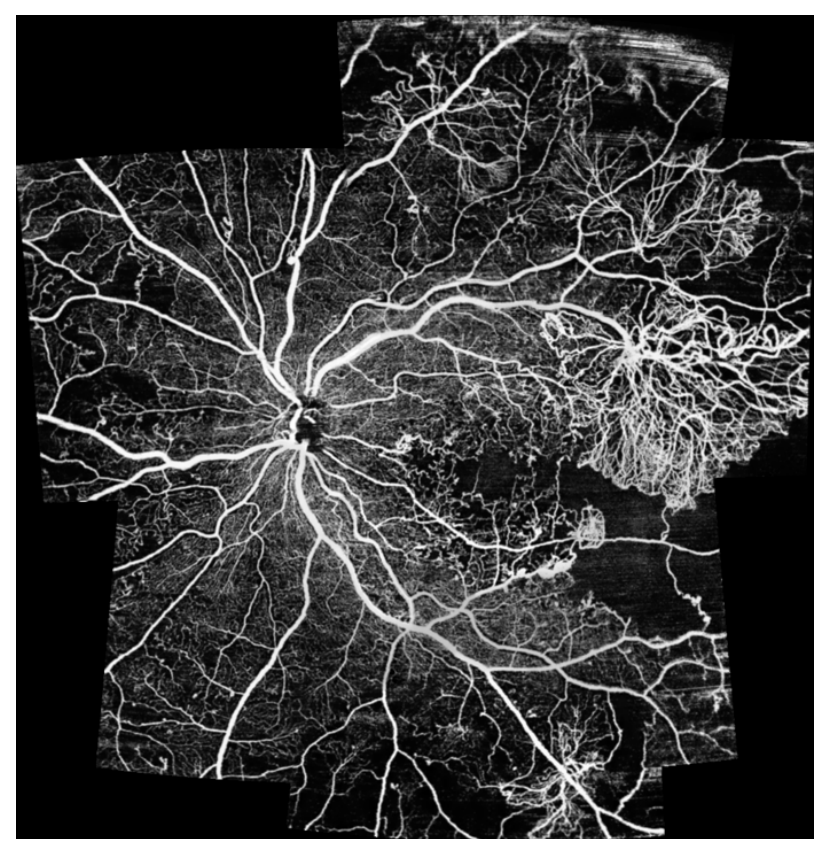


<sup>3)</sup> Magdy Moussa, Mahmoud Leila, Hagar Khalid. Imaging choroidal neovascular membrane using en face swept-source optical coherence tomography angiography. Clinical Ophthalmology 2017:11 1859-1869

<sup>3)</sup> Magdy Moussa, Mahmoud Leila, Hagar Khalid. Imaging choroidal neovascular membrane using en face swept-source optical coherence tomography angiography. Clinical Ophthalmology 2017:11 1859-1869

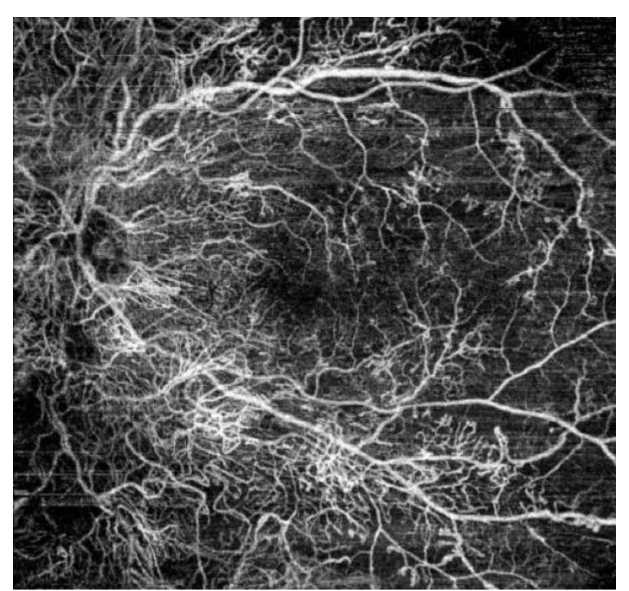
### Voir l'activité vasculaire.

#### Rétinopathie diabétique proliférante



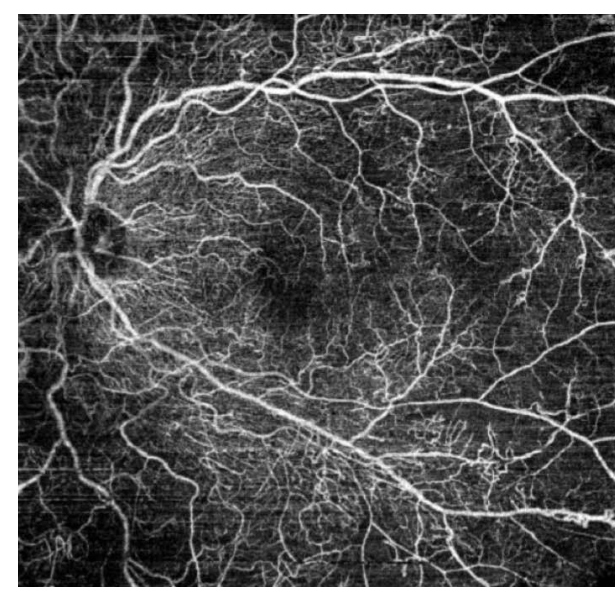
Mosaïque SS-OCT Angio<sup>TM</sup>
Remerciements : Akihiro Ishibazawa, MD, PhD.
Asahikawa Medical University Graduate School of Medical Sciences, Hokkaido, Japan

#### Avant traitement



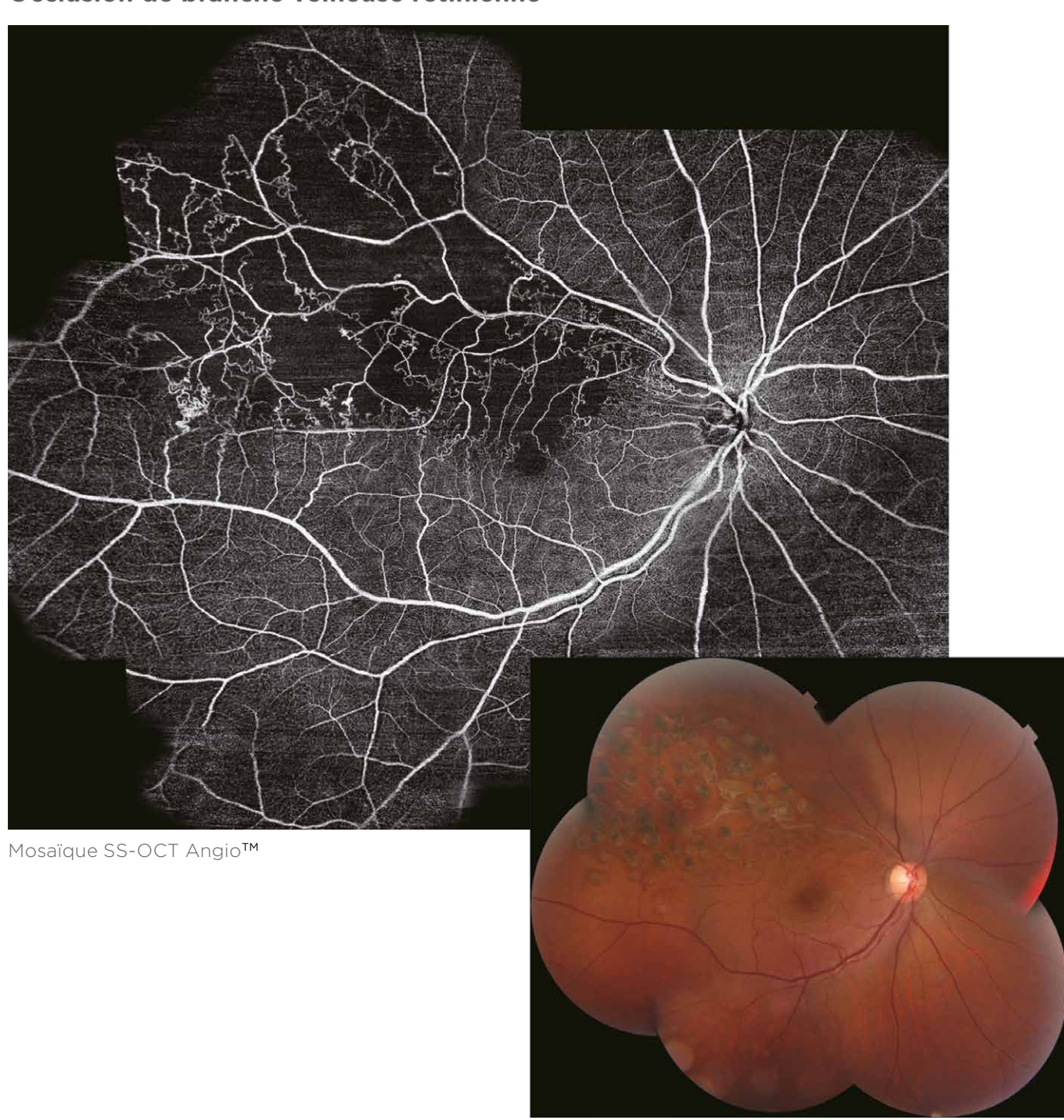
Remerciements : Akihiro Ishibazawa, MD, PhD. Asahikawa Medical University Graduate School of Medical Sciences, Hokkaido, Japan

#### Après traitement



Remerciements : Akihiro Ishibazawa, MD, PhD. Asahikawa Medical University Graduate School of Medical Sciences, Hokkaido, Japan

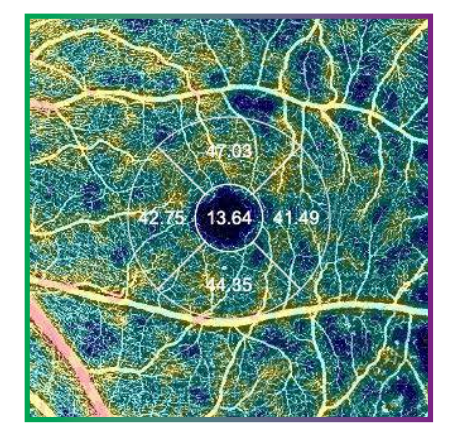
#### Occlusion de branche veineuse rétinienne

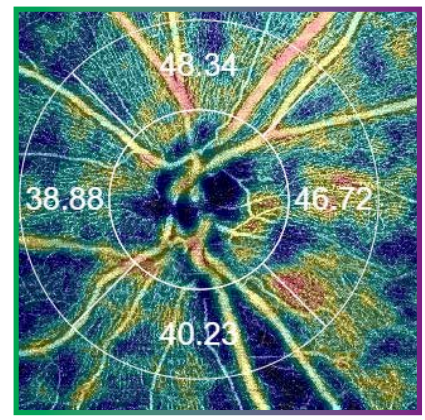


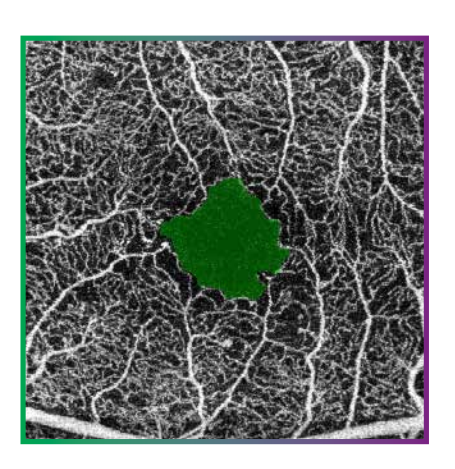
Remerciements : Yuichiro Ogura, MD, Professeur et président, Department of Ophthalmology and Visual Science, Nagoya City University, Nagoya, Japan

### Voir au delà. Voir plus profond.

Les analyses de l'OCTA sur le SS-OCT Triton accompagnent les cliniciens dans l'évaluation de la vascularisation de la rétine de façon objective et quantitative, des informations précieuses pour la santé oculaire des patients.







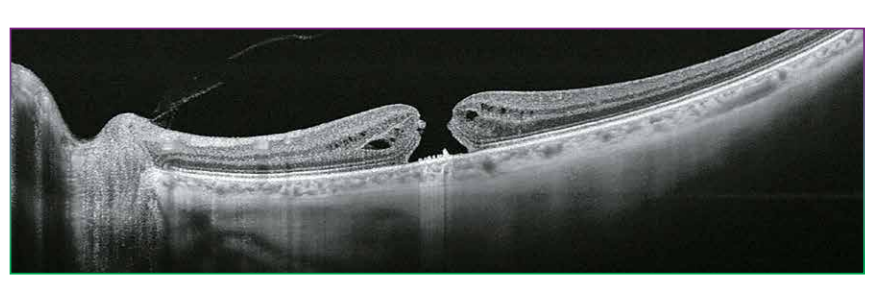
Remerciements: Michael H. Chen, O.D.

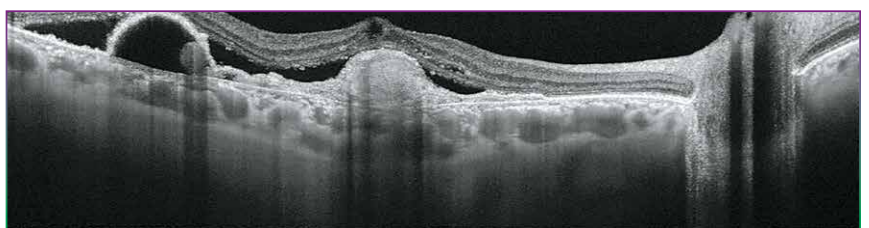


### Imagerie OCT Swept Source.

#### Longueur d'onde 1 050nm

La longue d'onde plus élevée permet une meilleure pénétration des tissus, permettant une visualisation des couches les plus profondes des yeux<sup>1</sup>.

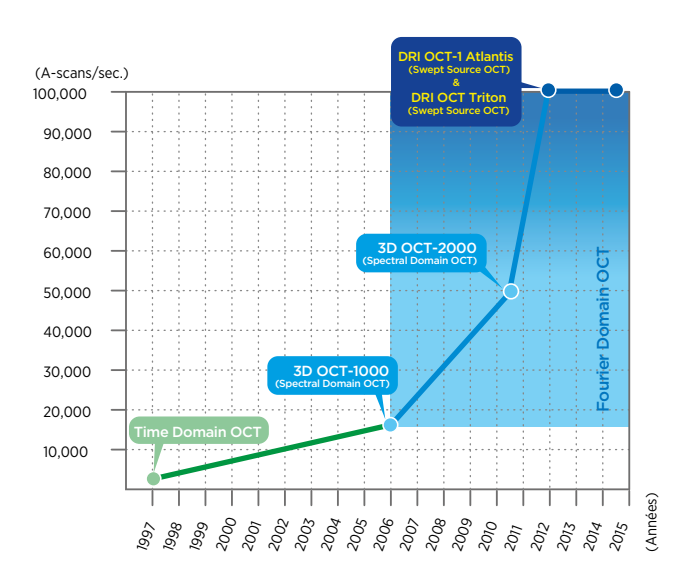




Remerciements: Professeur Jose Maria Ruiz Moreno MD, University of Albacete, Spain

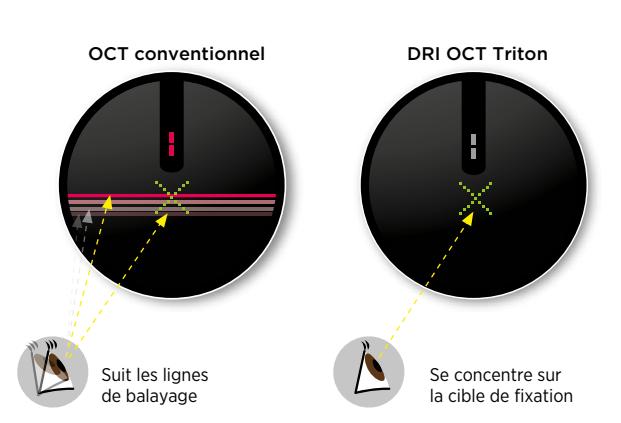
#### Technologie Swept Source OCT : Vitesse de 100 000 A-scans/sec

La technologie Swept Source fournie une vitesse de balayage très rapide de 100 000 A-scan/sec. Un balayage plus rapide permet de capturer un B-scan net<sup>4</sup> en faisant l'acquisition de plus de A-scans dans une période donnée. Cela aide à réduire les erreurs dues aux mouvements involontaires de l'œil du patient.



#### Lignes de balayage invisibles

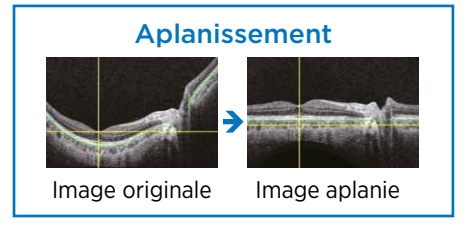
La longueur d'onde invisible de 1 050nm aide les patients à se concentrer sur la cible de fixation pendant la prise de mesure, réduisant ainsi les mouvements involontaires de l'œil. Cela évite de recommencer les acquisitions et permet un flux plus fluide des consultations.

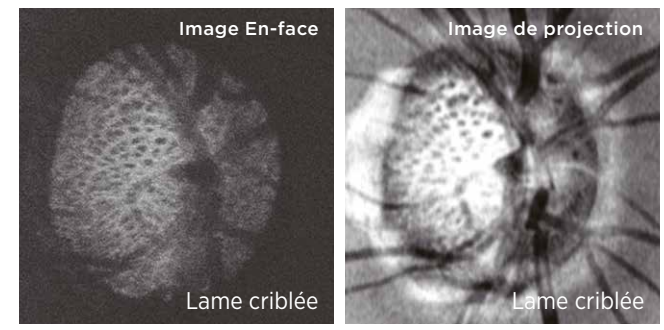


<sup>1)</sup> Fabio Lavinsky, Daniel Lavinsky. Novel perspectives on swept-source optical coherence tomography. Int J Retin Vitr (2016) 2:25
4) Shoji Kishi. Impact of swept source optical coherence tomography on ophthalmology. Taiwan Journal of Ophthalmology 6 (2016) 58-68

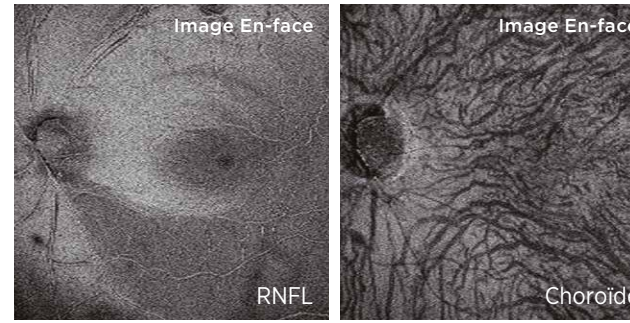
#### **Image OCT En face**

Une image OCT En-face permet une visualisation de la rétine sur un plan frontal, après aplanissement de la couche désirée.





Remerciements: Prof. T. Nakazawa, MD, PhD, Tohoku University, Japan



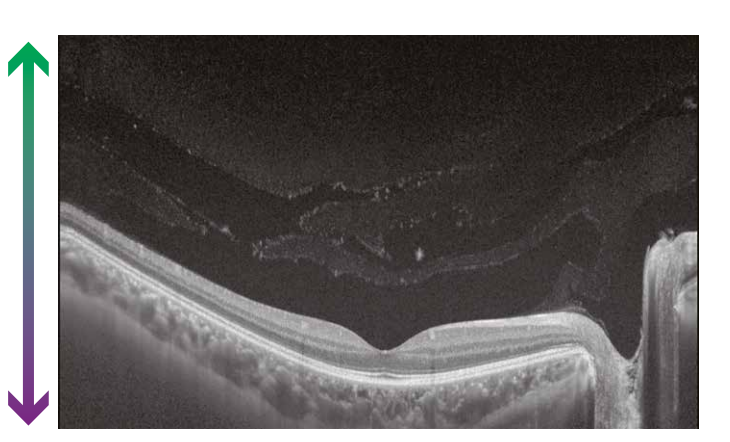
Remerciements: Prof. T. Nakazawa, MD, PhD, Tohoku University, Japan

#### Visualisation du vitré

#### Dynamic Focus™

Pour améliorer le signal faible dans le vitré, la technique avancée de capture du DRI OCT Triton, appelée Dynamic Focus<sup>TM</sup>, permet l'acquisition d'image de haute qualité et de résolution uniforme, grâce à une focalisation uniforme tout au long de l'acquisition.





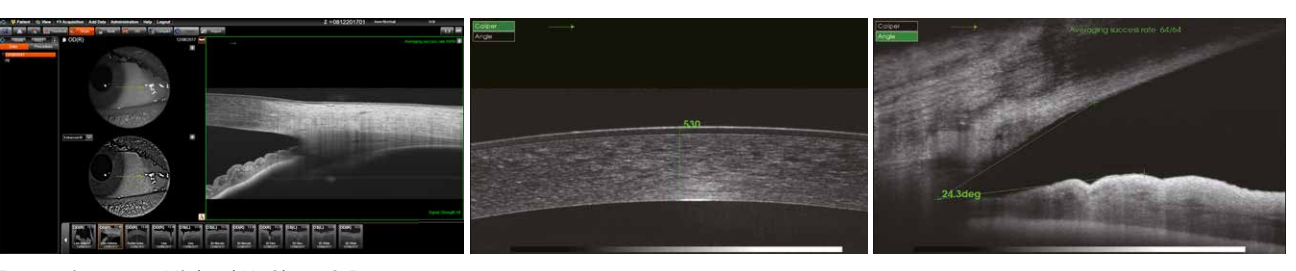
#### **EVV (Enhanced Vitreous Visualization™)**

Améliorer la visualisation du vitré avec le DRI OCT Triton aide dans l'évaluation de la nature des anomalies de l'interface vitréo-rétinienne<sup>1</sup>. Le contraste peut être rapidement ajusté selon les besoins du médecin et de la zone à observer.





## De la cornée à la choroïde.



Remerciements: Michael H. Chen, O.D.

#### Imagerie du Segment Antérieur

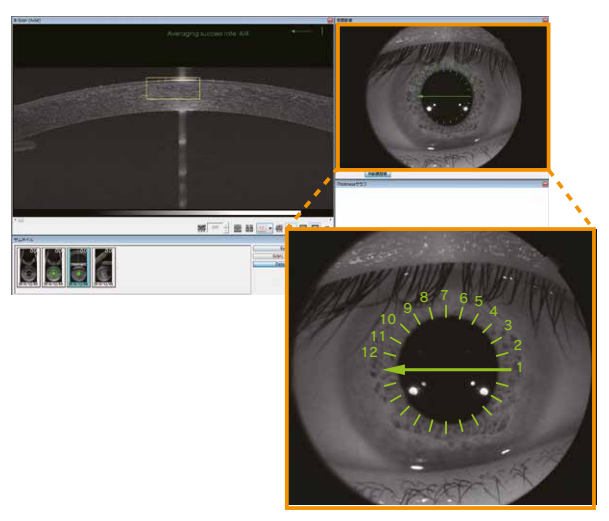
L'imagerie du segment antérieur avec le Triton (en option) permet la visualisation de la cornée, de la chambre antérieur, de l'angle irido-cornéen, de l'iris ou encore de la sclère<sup>5</sup>.

#### **Exemples d'images**

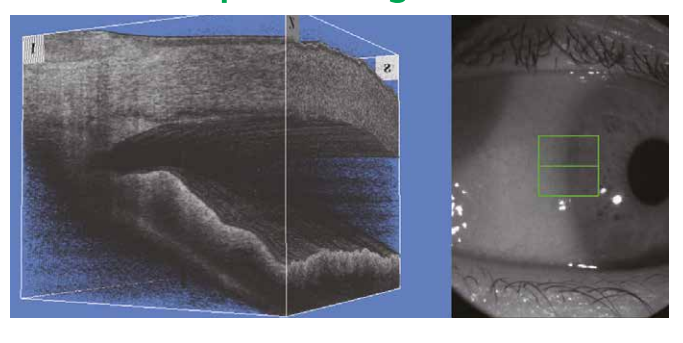
#### **Image OCT B-scan 16mm**



#### Scan radial centré sur la cornée



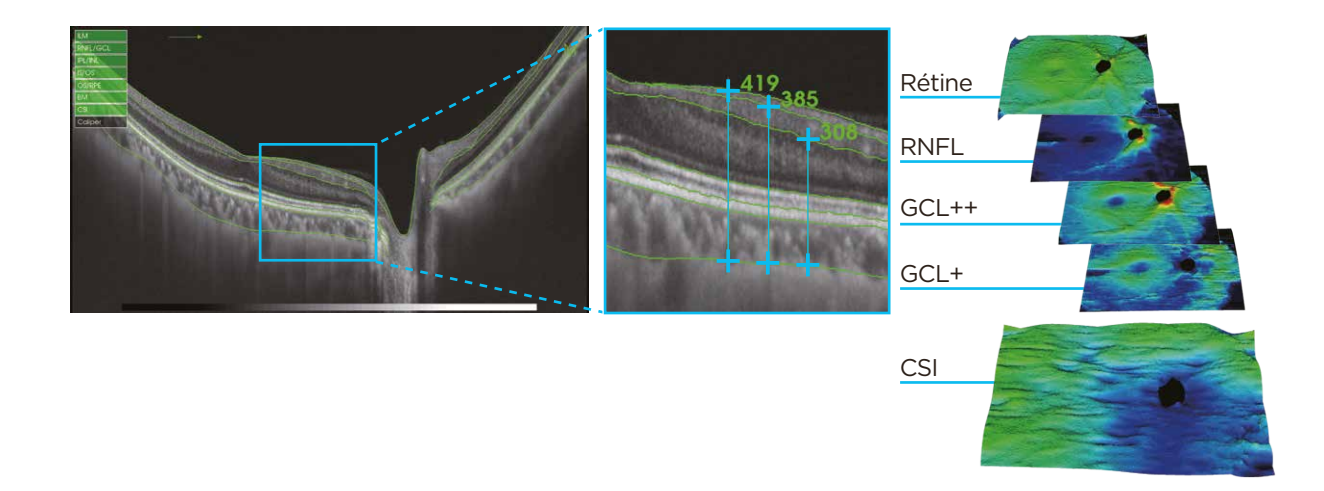
#### Scan volumique de l'angle irido-cornéen



<sup>5)</sup> Judyta Jankowska-Szmul, Edward Wylegala. The CLASS Surgical Site Characteristics in a Clinical Grading Scale and Anterior Segment Optical Coherence Tomography: A One-Year Follow-Up.Journal of Healthcare Engineering 2018, Article ID 5909827

#### 7 couches / 5 cartographies d'épaisseur / fonction caliper

Les couches rétiniennes sont automatiquement segmentées grâce au logiciel (TABS™), permettant de quantifier l'épaisseur interne pour l'analyse des modifications<sup>67</sup>.



#### Cartographies d'épaisseur de la choroïde

Comprendre les changements structurels de la choroïde en lien avec diverses maladies et suivis de traitement, est d'un intérêt de longue date pour les cliniciens<sup>8</sup>. Triton fournit une visualisation claire de la choroïde ainsi que des cartes d'épaisseur pour l'appréciation des structures oculaires profondes.

entre les couches ILM-OS/RPE entre les couches ILM-RNFL/GCL RNFL entre les couches RNFL/GCL-IPL/INL GCL+

> entre les couches ILM-IPL/INL

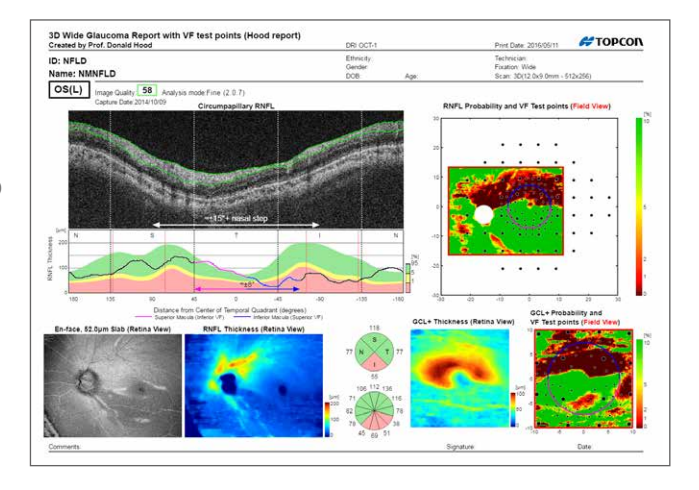
entre les couches BM-CSI ou ILM-CSI

**ILM** Membrane Limitante Interne OS Segments externes des photorécepteurs RPE Epithélium Pigmentaire RNFL Couche des fibres nerveuses rétiniennes GCL Couches des cellules ganglionnaires IPL Couche plexiforme interne INL Couche nucléaire interne BM Membrane de Bruch CSI Interface Choroïde-Scèle

#### **Hood Report (pour le Glaucome)**

16

L'épaisseur rétinienne, la RNFL, les GCL et le nerf optique obtenus en une seule acquisition et affichée sur un rapport. Le Hood Report normalise la prise de décision avec la corrélation de la structure (GCC-RNFL) et la fonction (Champ visuel) en superposant les tests CV sur les cartographies de l'OCT6.

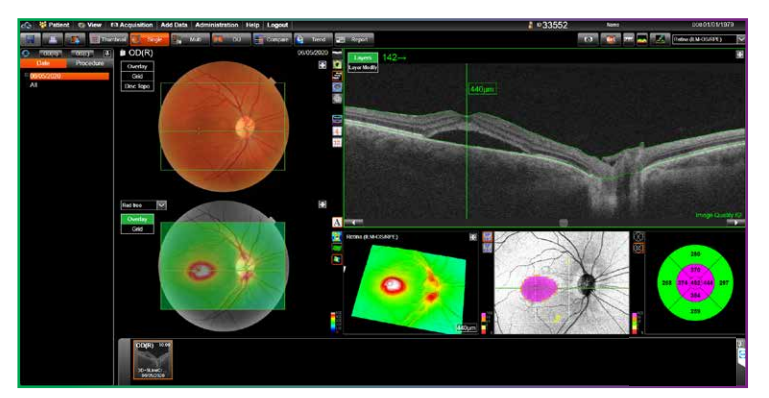


- 6) Zhichao Wu, Denis S. D. Weng, Rashmi Rajshekhar, Abinaya Thenappan, Robert Ritch, Donald C. Hood. Evaluation of a Qualitative Approach for Detecting Glaucomatous Progression Using Wide-Field Optical Coherence Tomography Scans. Trans Vis Sci Tech. 2018;7(3):5.
- 7) Beatriz Abadia, Ines Suñen, Pilar Calvo, Francisco Bartol, Guayente Verdes, Antonio Ferreras. Choroidal thickness measured using swept-source optical coherence tomography is reduced in patients with type 2 diabetes. PLoS ONE 13(2): e0191977.
- 8) Sushmitha Rao Uppugunduri, Mohammed Abdul Rasheed, Ashutosh Richhariya et al. Automated quantification of Haller's layer in choroid using sweptsource optical coherence tomography. PLoS ONE 13(3):e0193324

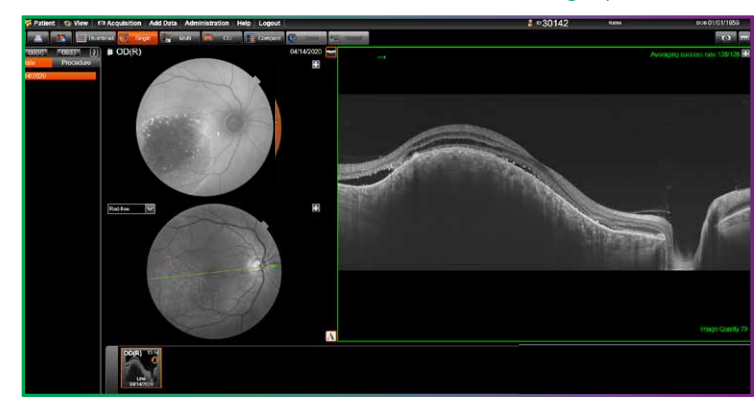
### Avoir une vision d'ensemble avec l'imagerie multimodale.

#### L'OCT Swept Source intègre une imagerie multimodale de l'œil

Le DRI OCT Triton peut acquérir l'OCT et l'image du fond d'œil en une seule acquisition. La fonction Pinpoint Registration™ identifie la localisation du B-scan sur le fond d'œil. Une comparaison claire entre le B-scan et l'image du fond d'œil est un support clinique efficace pendant le diagnostic.



Remerciements : Jay M. Haynie, O.D. OCT + Rétinographie couleur



Remerciements: Jay M. Haynie, O.D.

OCT + FAF

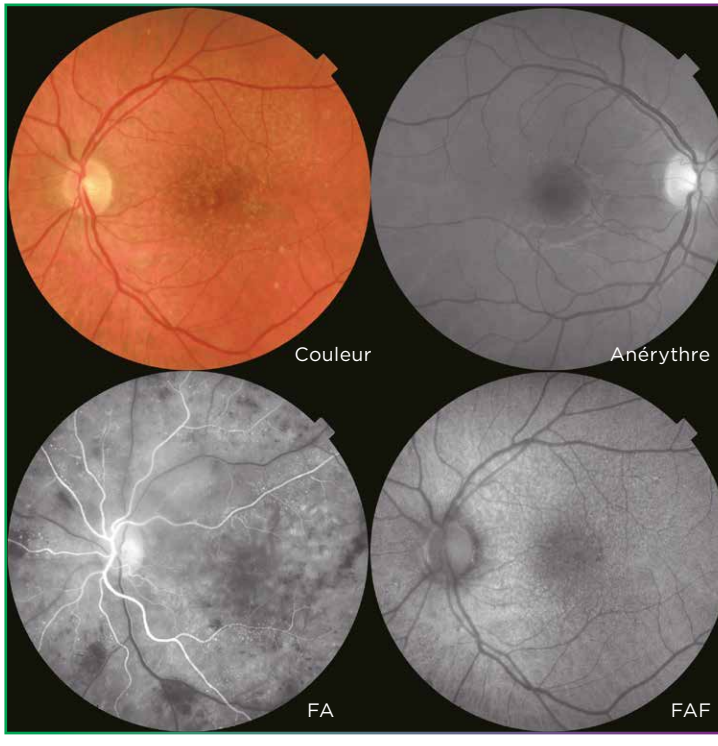
#### Images du fond d'œil en couleur réelle\*

Le DRI OCT Triton permet l'obtention d'images couleur du fond d'œil sans dilatation. L'angiographie à la fluorescéine et l'AutoFluo sont disponibles\*\* pour répondre à vos besoins. Le modèle tout-en-un améliore le flux dans la consultation.

- \* Image du fond l'œil en couleur réelle, acquisition avec une lumière blanche sur 24 bits.
- \*\*DRI OCT Triton Plus :

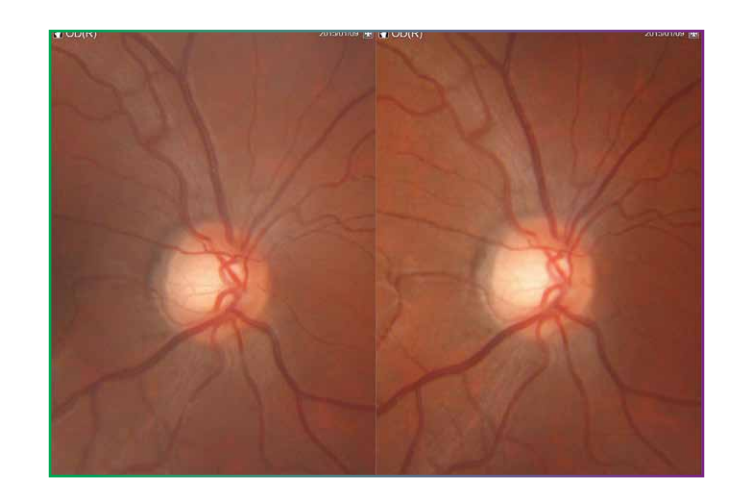
OCT / OCT Segment antérieur (Option) / OCT Angiographie (Option) / Rétinographie couleur / Anérythre (Red-Free) / Fluorescéine (FA) / AutoFluo (FAF) DRI OCT Triton :

OCT / OCT Segment antérieur (Option) / OCT Angiographie (Option) / Rétinographie couleur / Anérythre (Red-Free)



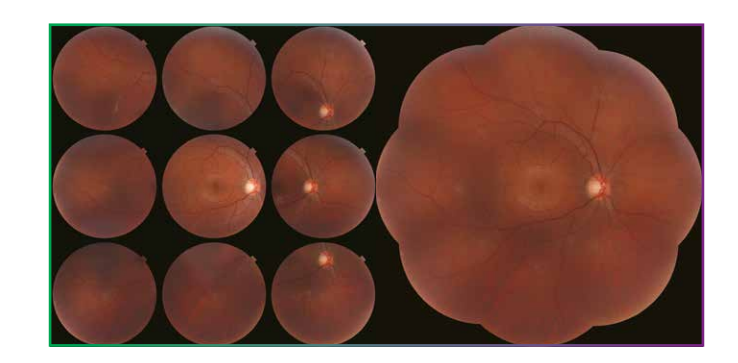
#### Photographie stéréo

Une visualisation 3D de l'image couleur du fond d'œil peut être réalisée en prenant les images en mode stéréo. L'opération sur le Triton est facile et rapide avec un alignement automatique pour une acquisition stéréo.



#### Photographie grand angle panoramique

En plus des images de la macula et du disque, le DRI OCT Triton permet de couvrir une large portion de la rétine. Une mosaïque peut être constituée à partir de plusieurs images du fond d'œil ou d'OCT Angiographie.



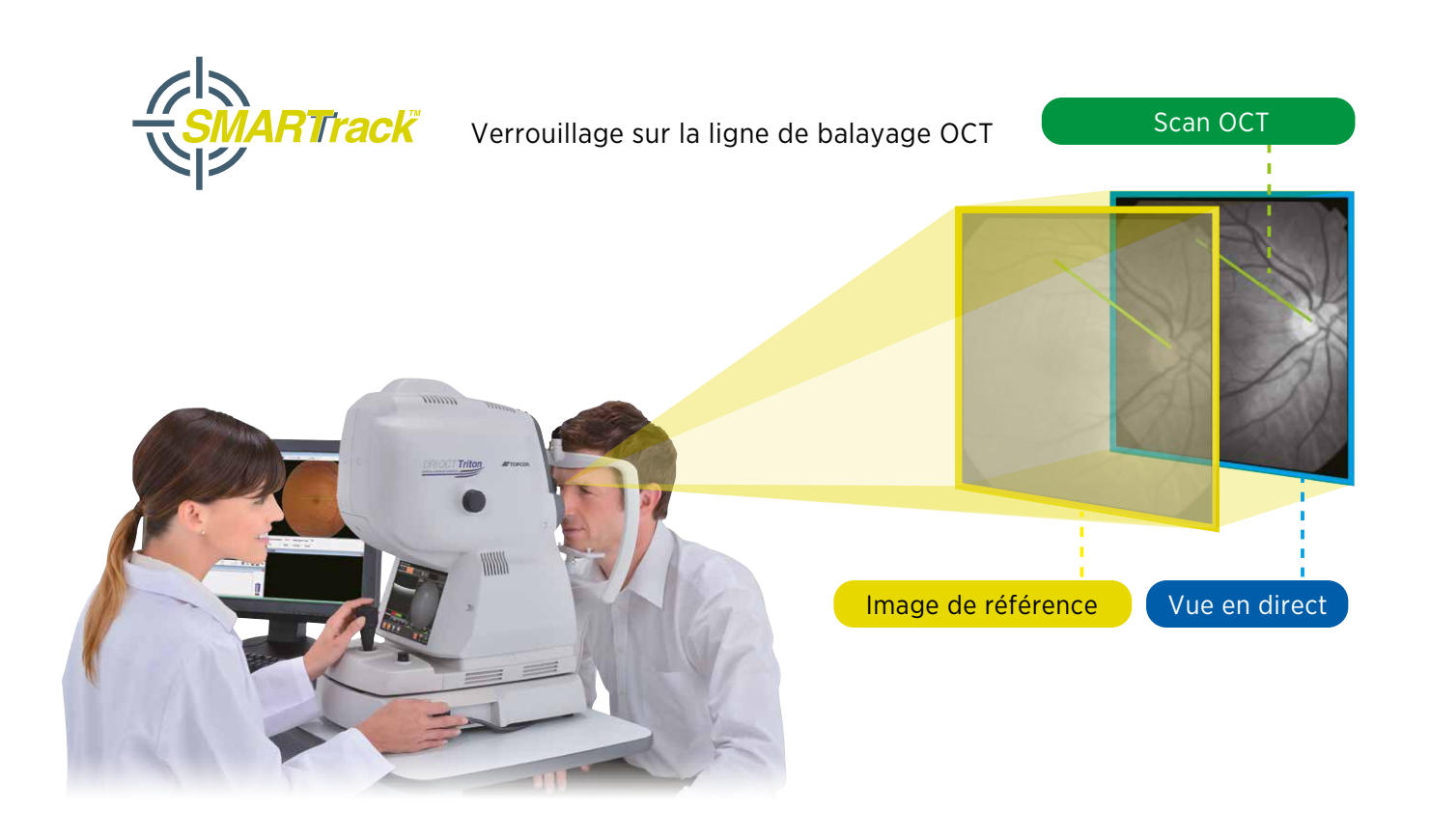


# Tracking intelligent. Workflow intelligent.

#### SMARTTrack<sup>™</sup>

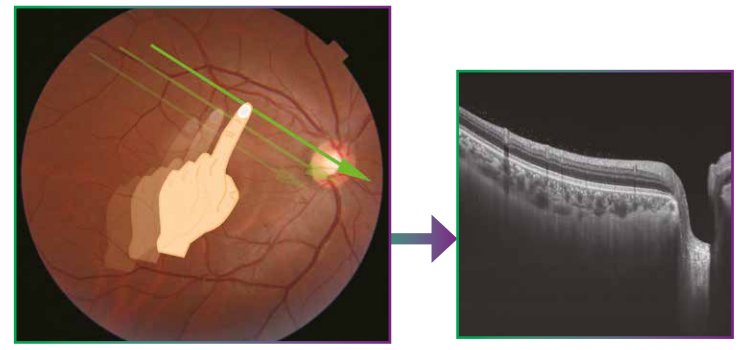
SMARTTrack™ améliore le tracking et les capacités de suivi du Triton à l'aide de nombreuses fonctions conçues pour améliorer sa convivialité :

- Acquisition guidée du fond d'œil (FGA)
- Fonction de suivi (Follow-up)
- Photographie de tracking



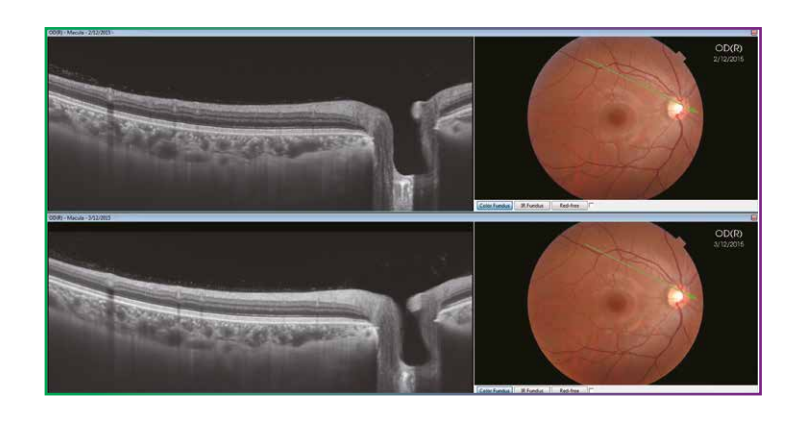
#### Acquisition guidée du fond d'œil (FGA)

La localisation du scan OCT peut être facilement déterminée en sélectionnant la position du scan depuis l'image du fond d'œil, rendant les altérations du fond d'œil visibles sans étapes supplémentaires pour l'opérateur. Avec FGA, l'opérateur peut choisir de prendre ou importer une image du fond d'œil, sélectionner la région à scanner, et acquérir automatiquement un B-scan.



#### **Fonction Follow-up**

Cette fonction vous permet de retrouver et de réanalyser la même localisation, pour comparer les anciennes et les nouvelles images. L'opérateur doit simplement sélectionner les anciens examens et le Triton prend automatiquement un scan OCT au même endroit.





### Correction des mouvements / Compensation / Fonction de re-scan

#### **Correction des mouvements**

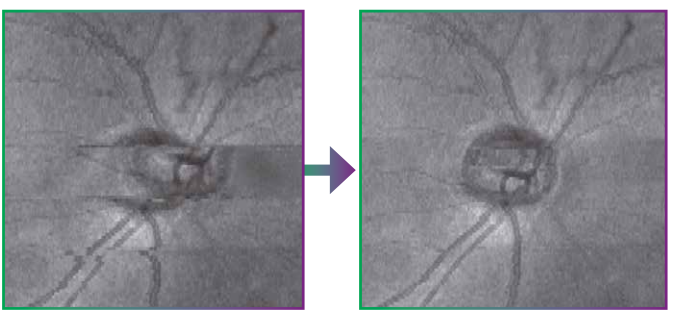
Corrige le mouvement de direction Z.

#### Compensation

Suit l'œil et compense ensuite le mouvement de direction X.

#### Fonction de re-scan

Une partie de la surface balayée peut manquer en cas de mouvement de l'œil en Y. Dans un tel cas, la fonction "rescanning" s'active automatiquement. Cela permet de scanner à nouveau la surface manquante.



Avant compensation

Après compensation

#### Aide à l'alignement

Quand l'opérateur souhaite acquérir une image, le moniteur du Triton le guide pour réduire les erreurs potentielles et rendre l'acquisition simple.

- Auto focus et déclenchement automatique, en mode couleur et AutoFluo
- Auto focus, auto-Z et verrouillage de la fonction Z, en mode OCT







Fonction petite pupille

#### Vue en direct du fond d'œil (LFV)

Le balayage rapide permet au Triton de créer une image En face en live, un outil idéal pour localiser précisément la position du balayage. Par conséquent, le disque, les vaisseaux rétiniens et la position du balayage sont faciles à visualiser, même sur les petites pupilles.

#### Capture OCT sans rétinographie

Le Triton peut également acquérir un scan OCT; avec ou sans image couleur du fond d'œil, pour éviter un myosis et répondre davantage aux patients ayant une faible dilatation.



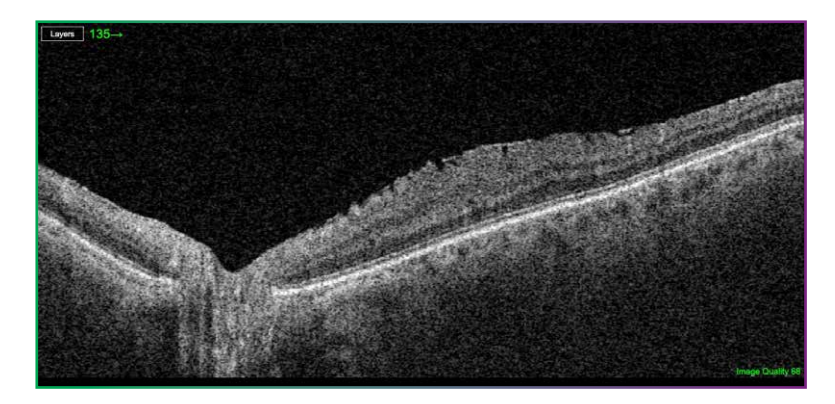
### Réinventer l'imagerie Swept Source :

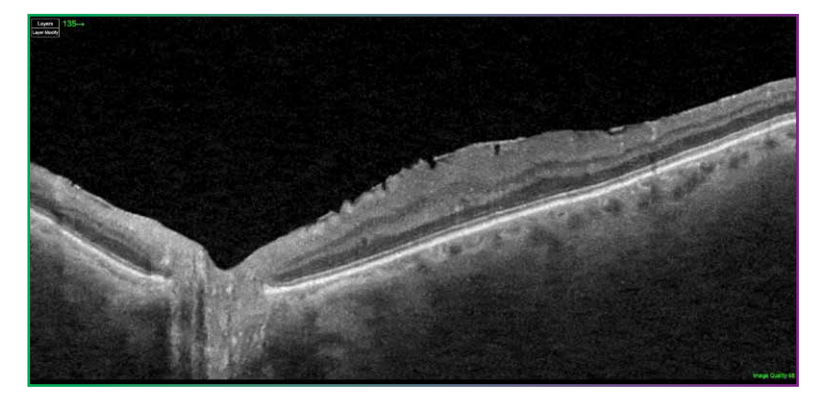
Triton avec PixelSmart™, un nouveau stade de l'imagerie OCT Swept Source.

#### NOUVEAU! PixelSmart™

PixelSmart™ s'applique sur la technologie brevetée haute densité de l'OCT-SS Triton pour générer des images riches et plus détaillées, sans sacrifier la zone scannée ou la vitesse d'acquisition. PixelSmart™ est disponible sur tous les scans volumiques (3D) du Triton :

- 3D Wide
- 3D Macula
- 3D Disque
- Scans combinés





### Caractéristiques

Observation & photographie du fon	
Mode d'acquisition	Couleur, FA*, FAF*, Anérythre**
Angle de photographie	45°
	30° ou équivalent (Zoom numérique)
Distance de travail	34.8mm
Diamètre pupillaire	Diamètre pupillaire en condition normale : φ4.0mm
	Mode petite pupille : φ3.3mm ou plus
Observation & photographie du tom	ogramme du fond d'œil
Plage de balayage du fond d'œil	Direction horizontale 3 - 12 mm
	Direction verticale 3 - 12 mm
Types de balayage	Scan volumique (horizontal/vertical)
	Scan linéaire (Ligne/Croisé/Radial/Raster)
Vitesse de balayage	100 000 A-Scans par seconde
Résolution latérale	20μm
Résolution en profondeur	Résolution numérique : 2.6µm
	Résolution optique : 8µm
Diamètre pupillaire	φ2.5mm ou plus
Observation & photographie de l'im	
Cible de fixation	Cible de fixation interne
	Matrice à point de type Organique EL
	La position et le type de fixation affichés
	peuvent être modifiés.
	Cible de fixation périphérique
	L'affichage dépend de la position de la cible
	de fixation interne
	Cible de fixation externe
Observation & photographie du seg	
Mode d'acquisition	IR
Distance de travail	17mm
Observation & photographie du tom	
Distance de travail	17mm
Plage de balayage de la cornée	Direction horizontale 3 - 16 mm
riage de baiayage de la cerrice	Direction verticale 3 - 16 mm
Type de balayage	Scan volumique
	Scan linéaire (Ligne/Radial)
Vitesse de balayage	100 000 A-Scans par seconde
Cible de fixation	Cible de fixation interne
Cible de lixation	Cible de fixation interne  Cible de fixation externe
Informations áloctriques	Cibie de lixation externe
Informations électriques Alimentation	Voltage : 100-240V
Allinentation	
Duissance	Fréquence : 50-60Hz
Puissance	250VA
Dimensions / Poids	700 750 mare (D) V 507 554 mare (L) V 500 500 mare (L)
Dimensions	320-359 mm(P) X 523-554 mm(L) X 560-590 mm(H)
Poids	21.8kg (DRI OCT Triton)
	23.8kg (DRI OCT Triton Plus)

 $<sup>^{*}</sup>$  Photographies FA et FAF disponibles uniquement avec modèle DRI OCT Triton plus

<sup>\*\*</sup> L'image Anérythre est extraite numériquement de l'image couleur et affichée comme pseudo red-free

<sup>\*\*\*</sup> L'observation et la photographie du segment antérieur est effectuée lorsque le kit segment antérieur est installé sur l'appareil

IMPORTANT Le DRI OCT-1 Triton/Triton+ est un appareil de Tomographie à Cohérence Optique qui permet de réaliser in-vivo des images en coupe de tissus, avec une résolution de quelques microns. Combiné à un rétinographe, le DRI OCT-1 Triton/Triton+ permet de réaliser des images couleur, autofluo (modèle Triton+) et fluo (modèle Triton+) de la rétine. Dispositif médical de classe lla. Les informations contenues dans ce document sont destinées aux professionnels de santé Lire attentivement les informations figurant dans le mode d'emploi avant utilisation. Une formation au DRI OCT-1 Triton/Triton+ est requise avant utilisation du dispositif. Prise en charge par l'assurance maladie sous certaines conditions. Fabriqué par Topcon Corporation - Distribué par Topcon France Medical.

Tous les produits ne sont pas disponibles sur tous les marchés et peuvent varier suivant les régions. Contactez votre distributeur local.

#### TOPCON CORPORATION

75-1, Hasunuma-cho, Itabashi-ku, Tokyo 174-8580, JAPAN Phone: +81-(0)3-3558-2522/2502 Fax: +81-(0)3-3965-6898 www.topcon.co.jp

#### TOPCON HEALTHCARE SOLUTIONS EMEA OY

HQ & PRODUCT DEVELOPMENT Saaristonkatu 23, 90100 Oulu, FINLAND Phone: +358-20-734-8190 E-mail: thsemea.sales@topcon.com www.topconhealth.eu



#### EC REP TOPCON EUROPE MEDICAL B.V.

P.O. Box 145, 2900 AC Capelle a/d IJssel P.O. Box 145, 2900 AC Capelle a/d IJssel THE NETHERLANDS Phone: +31 -(0)10-4585077 Fax: +31 -(0)10-4585045 E-mail: medical@topcon.com www.topconhealthcare.eu

#### TOPCON DANMARK

Praestemarksvej 25, 4000 Roskilde DANMARK Phone: +45-46-327500 Fax: +45-46-327555 E-mail: info@topcon.dk www.topconhealthcare.eu



CLASS 1 LASER PRODUCT PRODUIT LASER DE CLASSE 1







#### TOPCON SCANDINAVIA

Neongatan 2, P.O.Box 25, 43151 Mölndal SWEDEN Phone: +46-(0)31-7109200 Fax: +46-(0)31-7109249 E-mail: medical@topcon.se www.topconhealthcare.eu

#### TOPCON ESPAÑA S.A.

Frederic Mompou, 4, 08960 Sant Just Desvern Barcelona, SPAIN Phone: +34-93-4734057 Fax: +34-93-4733932 E-mail: medica@topcon.es www.topconhealthcare.eu

#### TOPCON ITALY

Viale dell' Industria 60, 20037 Paderno Dugnano, (MI) ITALY Phone: +39-02-9186671 Fax: +39-02-91081091 E-mail: info@topcon.it www.topconhealthcare.eu

#### TOPCON FRANCE MEDICAL

1 rue des Vergers, Parc Swen, Bâtiment 2, 69760 Limonest, FRANCE Phone: +33-(0)4-37 58 19 40, Fax: +33-(0)4-72 23 86 60 E-mail:topconfrance@topcon.com www.topconhealthcare.eu

#### TOPCON DEUTSCHI AND MEDICAL

D-47877 Willich, GERMANY Phone: (+49)2154-885-0 Fax: (+49)2154-885-177 E-mail: info@topcon-medical.de www.topconhealthcare.eu

#### TOPCON POLSKA SP. Z. O. O.

ul. Warszawska 23, 42-470 Siewierz POLAND Phone: +48-(0)32-670-50-45 Fax: +48-(0)32-671-34-05 E-mail: info@topcon-polska.pl www.topconhealthcare.eu

#### TOPCON (GREAT BRITAIN) MEDICAL LIMITED

AEDICAL LIMITED
Topcon House, Kennet Side, Bone Lane,
Newbury, Berkshire RG14 5PX
UNITED KINGDOM
Phone: #44-(0)1635-551120
Fax: #44-(0)1635-551170 E-mail: medical@topcon.co.uk www.topconhealthcare.eu

#### TOPCON IRELAND MEDICAL

Unit 292, Block G, Blanchardstown, Corporate Park 2 Ballycoolin Dublin 15, D15 DX58, IRELAND Phone: +353-12233280 F-mail: medical.ie@topcon.com www.topconhealthcare.eu